

КРАТКИЕ СООБЩЕНИЯ

УДК 537.611.43:548.4

© 1993

СТРУКТУРНАЯ МОДЕЛЬ ЯН-ТЕЛЛЕРОВСКИХ ЦЕНТРОВ Ni^{3+} В КЕРАМИКЕ $\text{LaSrAl}_{1-x}\text{Ni}_x\text{O}_4$

*Т.А.Иванова, Е.Ф.Куковицкий, А.Е.Усачев, Ю.В.Яблоков,
В.В.Зеленцов, Т.Н.Фесенко*

Парамагнитный резонанс твердых растворов $\text{LaSrAl}_{1-x}\text{Ni}_x\text{O}_4$ показал наличие трех разновидностей ян-теллеровских (ЯТ) центров низкоспинового Ni^{3+} в позициях AlO_6 [1,2]. Для центров (1) и (2) эффект Яна-Теллера подавлен во всем температурном интервале 4.2–300 К. Параметры их спектров: $g_{\perp}^{(1)} = 2.235$, $g_{\parallel}^{(1)} = 2.043$, $g_{\perp}^{(2)} = 2.212$, $g_{\parallel}^{(2)} = 2.043$. Центры (3) проявляют ЯТ динамику. В интервале температур 125–145 К пульсации кислородов этих центров замораживаются, при $T = 4.2$ К они имеют ромбическую конфигурацию. Параметры их спектра: $g_1^{(3)} = 2.344$, $g_2^{(3)} = 2.220$, $g_3^{(3)} = 2.043$. Отличия поведения центров (1)–(3) связаны с разной степенью тетрагональных искажений октаэдров NiO_6 . Центры (1), (2) были соотнесены в [1,2] различным комбинациям ионов La и Sr вдоль оси с и комплексов NiO_6 . Установление адекватной модели динамических центров (3) и особенностей микроструктуры, приводящих к их возникновению, требовало дальнейших исследований.

В настоящем сообщении мы приводим результаты изучения А) влияния термообработки на параметры спектров ЭПР и относительное содержание центров в образцах $\text{LaSrAl}_{1-x}\text{Ni}_x\text{O}_4$ с $x = 0.02, 0.10$, Б) влияние некоторых изменений состава в рамках одного структурного типа на относительное содержание центров (3) в образцах $\text{La}_{1+x}\text{Sr}_{1-x}\text{Al}_{1-x-0.02}\text{Ni}_{0.02}\text{Mg}_x\text{O}_4$ с $x = 0, 0.15, 0.30$. Синтез образцов проводился методом разложения нитратов [2]. Рентгенофазовый анализ свидетельствовал об однофазности синтезированных соединений и их принадлежности к структуре типа K_2NiF_4 .

Результаты экспериментов представлены на рис 1, 2. При отжиге образцов серии А в атмосфере кислорода при $T \sim 950^\circ\text{C}$ наблюдается увеличение относительной интенсивности сигнала (3) (рис. 1, а, б). При отжиге в вакууме этот сигнал уменьшается (рис. 1, в), а при длительном отжиге пропадает. К такому же исчезновению сигнала (3) приводит и закалка образца (рис. 1, г). Параметры спин-гамильтониана спектров ЭПР при термообработке остаются постоянными в пределах ошибок эксперимента. Отметим также, что сигнал (3) наблюдался только в образцах,

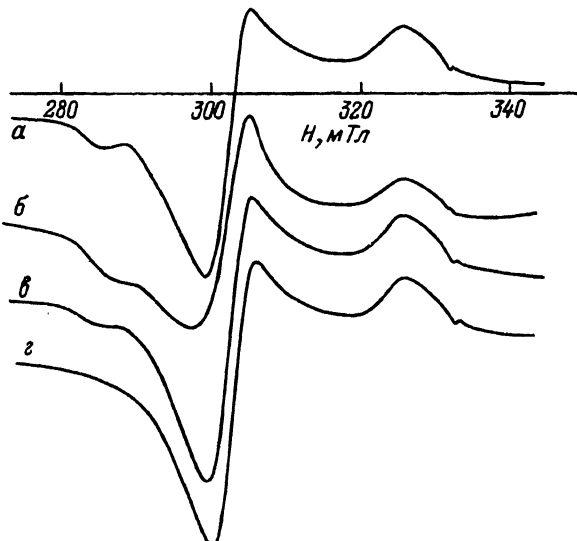


Рис. 1. Спектры ЭПР
 $\text{LaSrAl}_{0.98}\text{Ni}_{0.02}\text{O}_4$; $\nu = 9.343 \text{ ГГц}$; $T = 4.2 \text{ К}$.
 а — до термообработки,
 б — после отжига в атмосфере кислорода при $T = 950^\circ \text{ С}$ в течение 10 ч,
 в — после отжига в вакууме при $T = 800^\circ \text{ С}$ в течение 20 ч,
 г — после повторного синтеза и закалки.

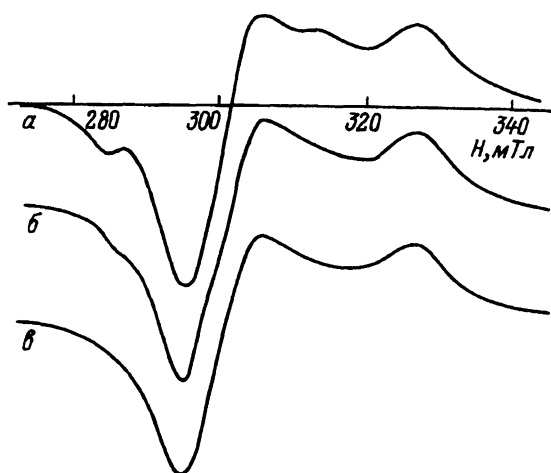


Рис. 2. Спектры ЭПР
 $\text{La}_{1+x}\text{Sr}_{1-x}\text{Al}_{1-x-0.02}\text{Ni}_{0.02}\text{O}_4$; $\nu = 9.343 \text{ ГГц}$, $T = 4.2 \text{ К}$.
 а — $x = 0$, б — 0.15 , в — 0.30 .

полученных методом разложения нитратов. Синтез соединений состава A при $T \sim 1150^\circ \text{ С}$ из углекислых солей, что эквивалентно синтезу в обедненной кислородом среде, приводит к полному отсутствию сигнала (3) [1]. Из рис. 2 видно, что в образцах серии Б при переходе от $x = 0$ к $x = 0.15$ интенсивность сигнала (3) уменьшается более чем в 4 раза и при $x = 0.3$ он пропадает. Наблюдается явная корреляция с содержанием Sr: уменьшение Sr приводит к резкому уменьшению этого сигнала.

Полученные экспериментальные данные позволяют утверждать, что возникновение центров (3) связано с существованием избыточного кислорода в структуре, не обедненной ионами Sr. По-видимому, при синтезе по методике [2] получаются соединения $\text{LaSrAl}_{1-x}\text{Ni}_x\text{O}_{4+\delta}$ с положительным δ , а по методике [1] — с δ , близким к нулю. Нейтронографические исследования керамики $\text{La}_2\text{NiO}_{4+\delta}$ показали, что избыточный кислород занимает положение между La плоскостями, координирован четырьмя ионами La^{3+} , вызывает смещение ближайшего к нему аксиального кислорода по оси [010] (или [100]) на $\sim 0.5 \text{ \AA}$ и уменьшение расстояний Ni-аксиальный кислород на $\sim 0.06 \text{ \AA}$ для других ионов кислорода по всей решетке [3].

Предполагая аналогичную модель для исследованных нами соединений, мы провели оценки изменения тетрагональной компоненты кристаллического поля (ТКП) в позиции В при внесении такого дефекта. Определялось изменение величины $E_{\text{тет}} = 12B_{20} + 60B_{40}$, характеризующей расщепление основного дублета в тетрагональном кристаллическом поле в приближении точечных зарядов с учетом 5-6 координационных сфер. Оно составило $\sim 18\%$. Замена La^{3+} на Sr^{2+} по оси C_4 комплекса NiO_6 также приводит к уменьшению ТКП на $\sim 20\%$. Суммарное уменьшение ТКП в комплексах, находящихся в непосредственной близости от межплоскостного кислорода и иона Sr^{2+} , приводит к тому, что достигается соотношение $E_{\text{тет}}/(2\beta) < 12$, при котором адиабатический потенциал (АП) имеет внизу два минимума [4] (2β — высота энергетического барьера между эквивалентными минимумами АП в отсутствие деформаций). При этом за счет внедрения межплоскостного кислорода возникают также небольшая ромбическая компонента кристаллического поля и соответственно некоторая неэквивалентность минимумов АП. Стабилизация комплексов NiO_6 в одном из минимумов АП при низких температурах и усреднение состояний в минимумах при повышении температуры объясняют наблюдаемую температурную динамику спектра ЭПР центров (3). Существенно более высокая температура такого перехода (~ 125 К) по сравнению с аналогичными структурами с Cu^{2+} , имеющими АП с двумя эквивалентными минимумами [4], согласуется с предлагаемой моделью понижения одного из двух минимумов АП.

Для центров (1), (2), не искаженных присутствием межплоскостного кислорода, $E_{\text{тет}}/(2\beta) > 12$, АП одноямный и наблюдаются спектры аксиальной симметрии во всем температурном диапазоне. Уменьшение содержания центров (3) с ростом x в образцах серии Б связано, на наш взгляд, с двумя причинами: с непосредственным уменьшением ТКП в октаэдрах, соседствующих по оси с ионами Sr , и с уменьшением содержания избыточного кислорода в $\text{La}_{1+x}\text{Sr}_{1-x}\text{-оксиде}$. Анализ рентгеноструктурных данных показывает, что образцы состава Б с $x > 0.30$ становятся неоднофазными и включают в себя в качестве примеси фазу $\text{La}(\text{OH})_3$, содержание которой растет с увеличением x . По-видимому, микронеоднородные включения этой фазы, меньшие по объему предела обнаружения рентгенофазовым методом, присутствуют и в образцах с $x = 0.15$ и $x = 0.30$, а избыточные ионы кислорода локализуются преимущественно в этой фазе. Такая особенность распределения избыточных ионов кислорода позволяет понять резкое уменьшение интенсивности сигнала (3) уже при $x = 0.15$.

Список литературы

- [1] Yablokov Yu.V., Ivanova T.A., Shipunova S.Yu., Chezhina N.V., Zvereva I.A., Bobrysheva N.P. // Appl. Magn. Res. 1991. V. 2. N 3. P. 547-558.
- [2] Иванова Т.А., Куквицкий Е.Ф., Усачев А.Е., Яблоков Ю.В. // СФХТ. 1992. Т. 5. № 5. С. 860-864.
- [3] Jorgensen J.D., Dabrowski B., Pei Sh., Richards D.R., Hinks D.G. // Phys. Rev. B. 1981. V. 40. N 4. P. 2187-2199.
- [4] Яблоков Ю.В., Усачев А.Е., Иванова Т.А. // Радиоспектроскопия конденсированных сред. М.: Наука, 1990. С. 147-181.

Казанский физико-технический институт КНЦ РАН

Поступило в Редакцию
16 апреля 1993 г.